

Transzportfolyamatok a biológiai rendszerekben

Transzportfolyamatok a sejt nyugalmi állapotában

Elektrofiziológiai jelenségek és a transzportfolyamatok kapcsolata

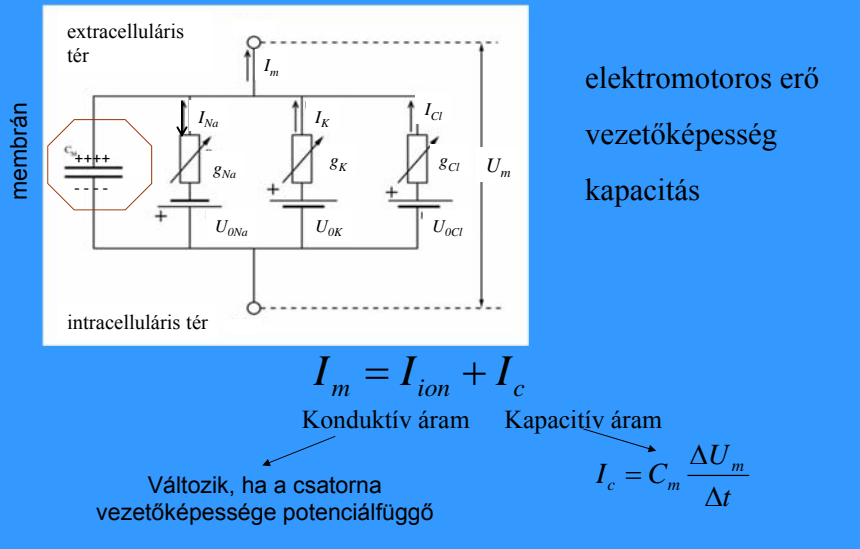
A nyugalmi potenciál jelentősége

a sejt homeosztázisának (sejttérfogat, pH) fenntartása
ingerlékenység
érzékelés
jelátadás

A nyugalmi potenciál értelmezése:

- Donnan vagy egyensúlyi modell
- Transzport modell
- Elektromos modell

A sejtmembrán elektromos modellje:

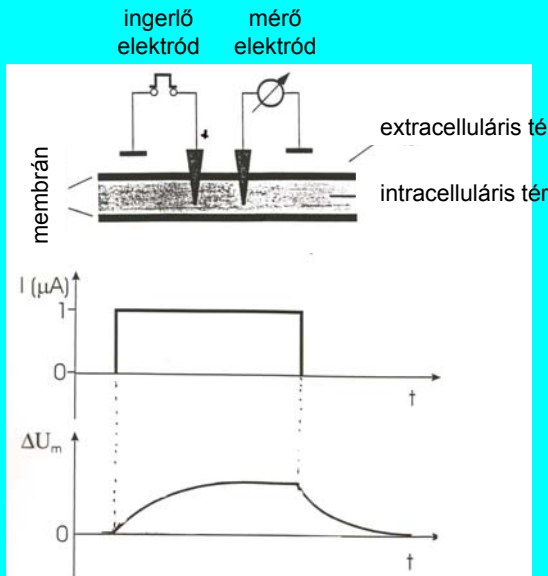


A nyugalmi potenciál megváltozása

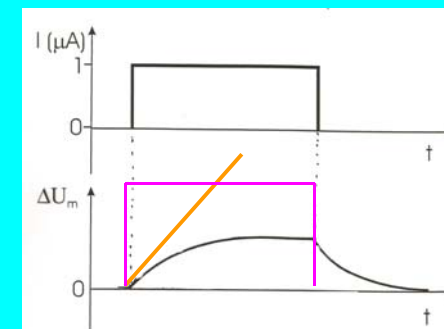
1. A membrán "passzív" elektromos tulajdonságai

Kísérlet

Áramirány : pozitív töltések áramlásának irása.



Miért éppen így?

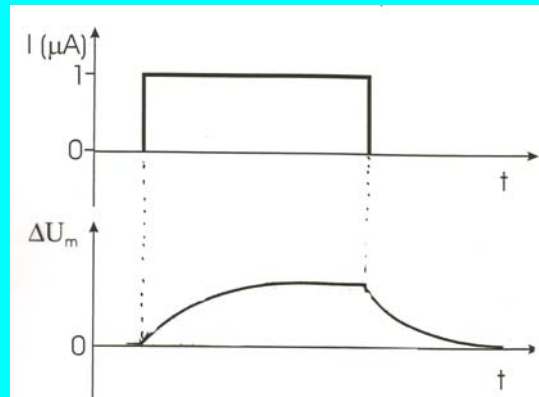


Nem így
Nem így

Miért éppen így?

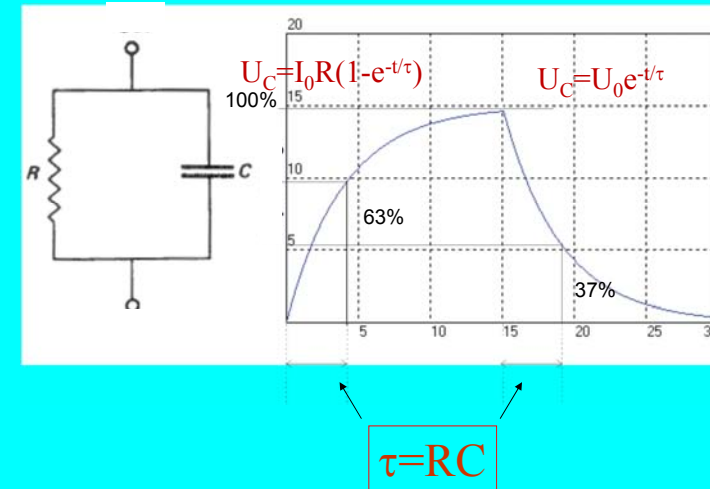
A membrán elektromos tulajdonságai miatt:

- ellenállás
- kapacitás

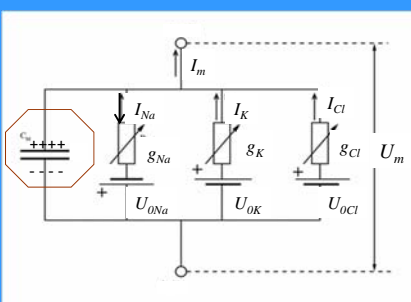


Hol is láttam már ehhez hasonlót?

Párhuzamos RC-kör töltése és kisütése



Összevetése az elektromos modellel:



$$I_{ion} + I_c = I_m = 0$$

$$g_{Na} (U_m - U_{0Na}) = I_{Na}$$

$$g_{K} (U_m - U_{0K}) = I_K$$

$$g_{Cl} (U_m - U_{0Cl}) = I_{Cl}$$

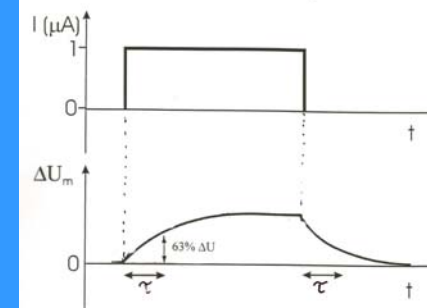
$$C_m \frac{\Delta U_m}{\Delta t} + \frac{\Delta U_m - U_0}{R_m} - I_{inger} = 0$$

Az ingerlés kezdetétől eltelő idő

$$U_m(t) = U_t \left[1 - e^{-\frac{t}{R_m C_m}} \right]$$

A membránpotenciál időbeli változása

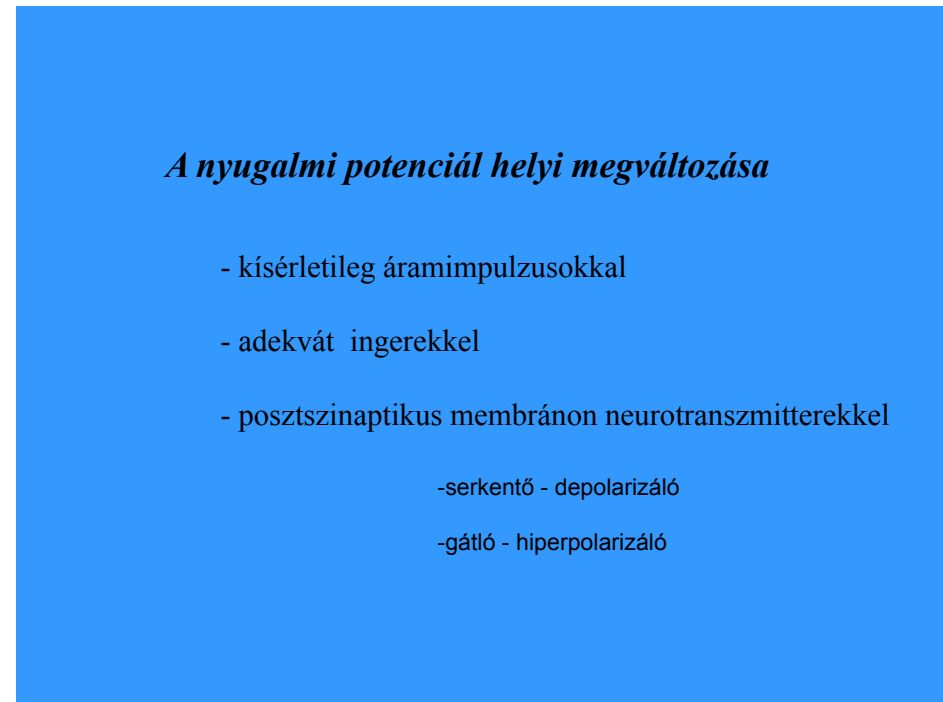
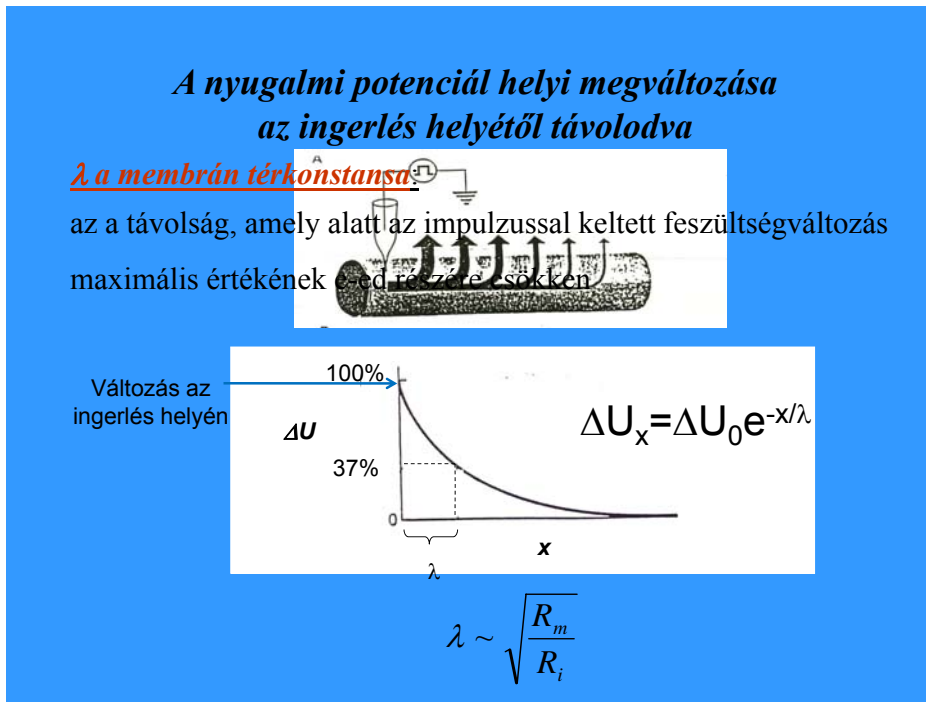
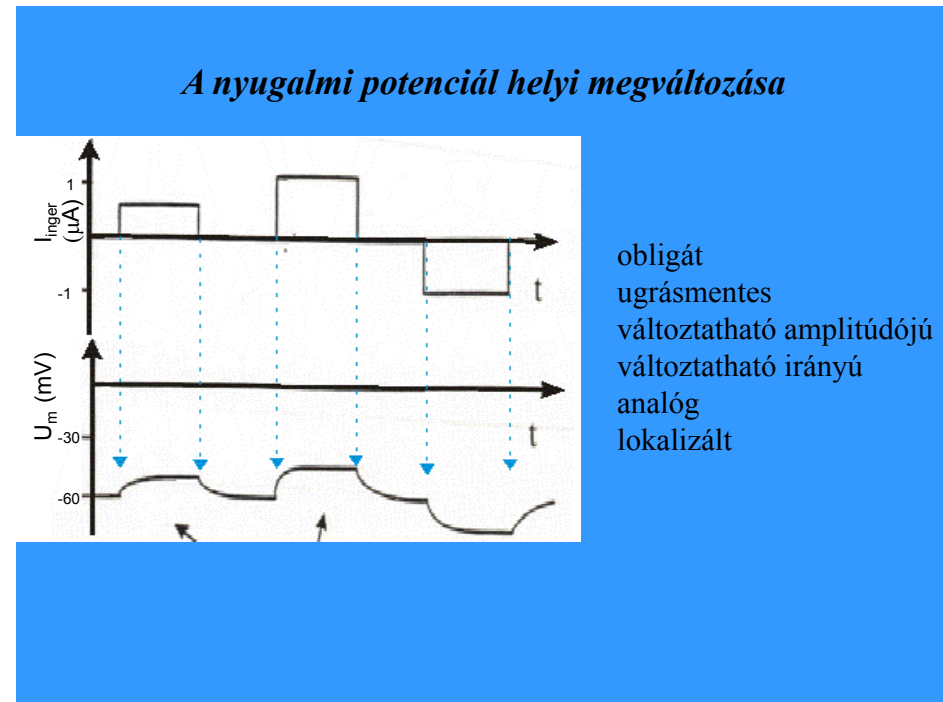
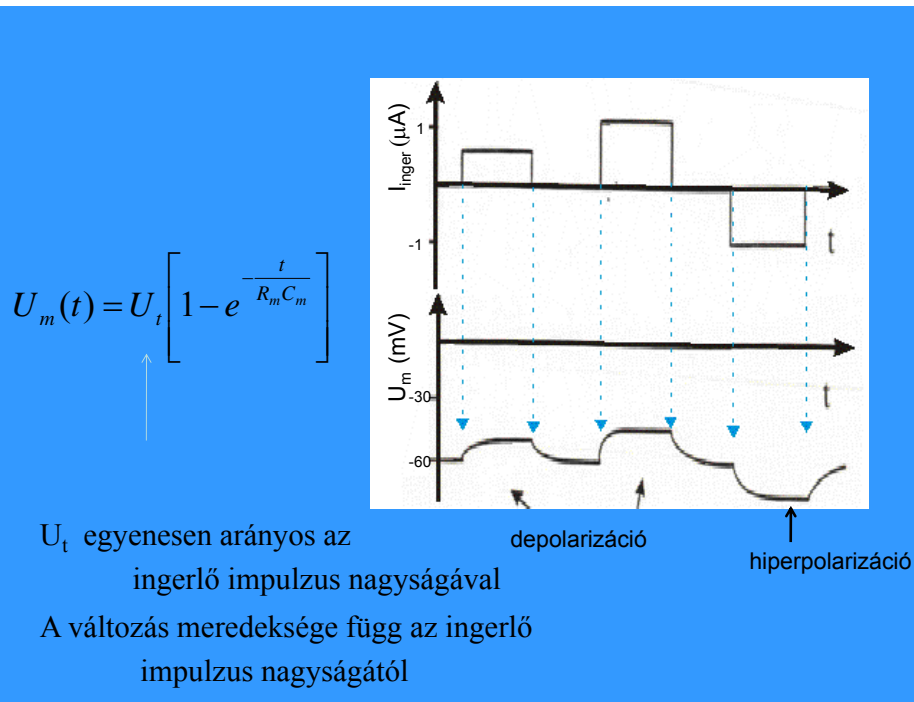
A membránpotenciál telítési értéke



a membrán kapacitása
 $\tau = C_m R_m$
 a membrán keresztrányú ellenállása

τ a membrán időállandója:

az az idő, ami alatt az impulzussal keltett feszültségváltozás -eléri a telítési érték 63%-át vagy
 -az ingerlés megszünte után e-ed részére csökken



A nyugalmi potenciál helyi megváltozásának jelentősége

ingerületvezetés

érzékelés - receptorműködés

jelátadás

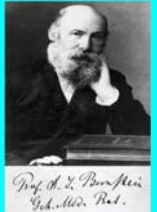


"Akciós potenciál történelem"

1780: **Luigi Galvani** – elektromos vezetés és izomösszehúzódás kapcsolata



1843: **Emil Dubois-Reymond** – nyugalmi potenciál, ami megváltozik izomösszehúzódáskor



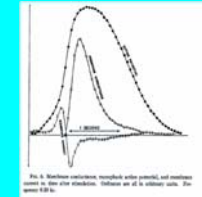
1868: Dubois-Reymond tanítványa **Julius Bernstein** – egyenlötlen ioneloszlás leírása; ionáram ingerléskor; terjedő elektromos potenciál változás: *akciós potenciál*

A nyugalmi potenciál megváltozása

2. A membrán "aktív" elektromos tulajdonságai

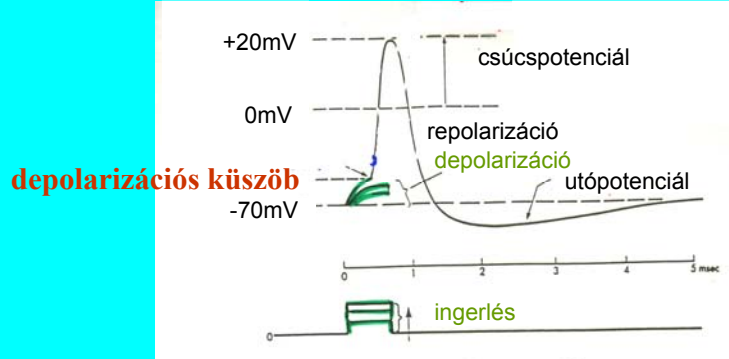


1938: **K.C. Cole** – méréssel igazolta, hogy a membrán vezetőképessége megnő az akciós potenciál alatt



1948: **Alan Hodgkin** és **Bernard Katz** – kimutatta, hogy az akciós potenciál amplitúdója függ az extracelluláris Na^+ koncentrációtól

Az akciós potenciál kialakulása



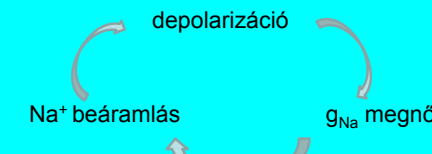
depolarizációs küszöb

fakultatív
azonos amplitúdójú – minden vagy semmi
nem lokalizált

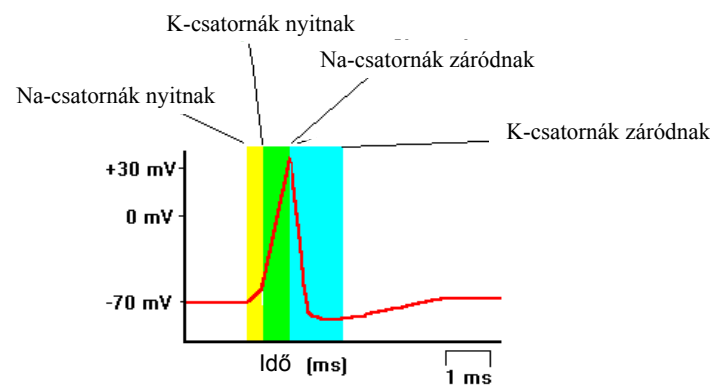
Hodgkin-Katz hipotézise az akciós potenciál kialakulásáról

feszültségfüggő ioncsatornák működése

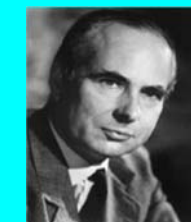
$$\varphi_e - \varphi_i = -\frac{RT}{F} \ln \frac{\sum p_k^+ c_{ke}^+ + \sum p_k^- c_{ki}^-}{\sum p_k^+ c_{ki}^+ + \sum p_k^- c_{ke}^-}$$



Hodgkin-Katz hipotézise az akciós potenciál kialakulásáról



Hogyan lehetne az egyedi ionáramokat mérni?



Andrew Fielding Huxley
(1917-)

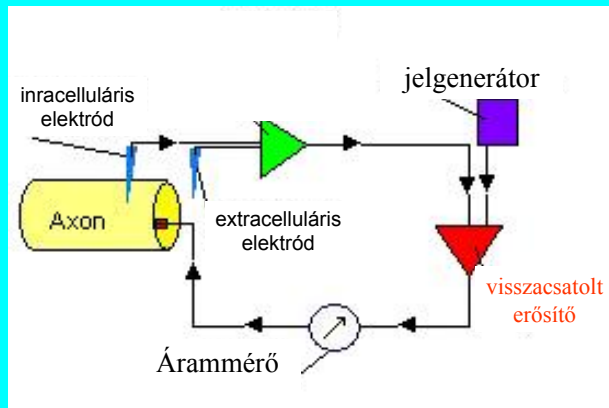


Alan Lloyd Hodgkin
(1914-1998)

The Nobel Prize in Physiology or Medicine
1963

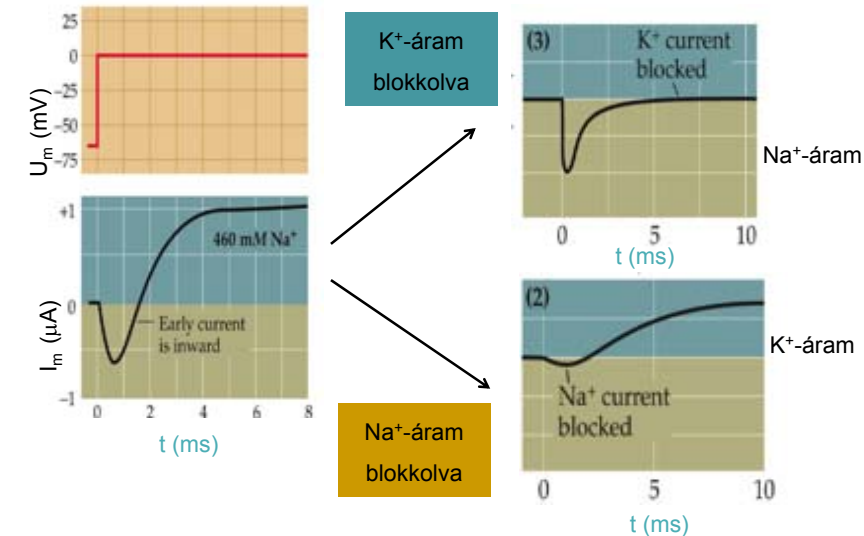
"for their discoveries concerning the ionic mechanisms involved in excitation and inhibition in the peripheral and central portions of the nerve cell membrane"

Voltage Clamp

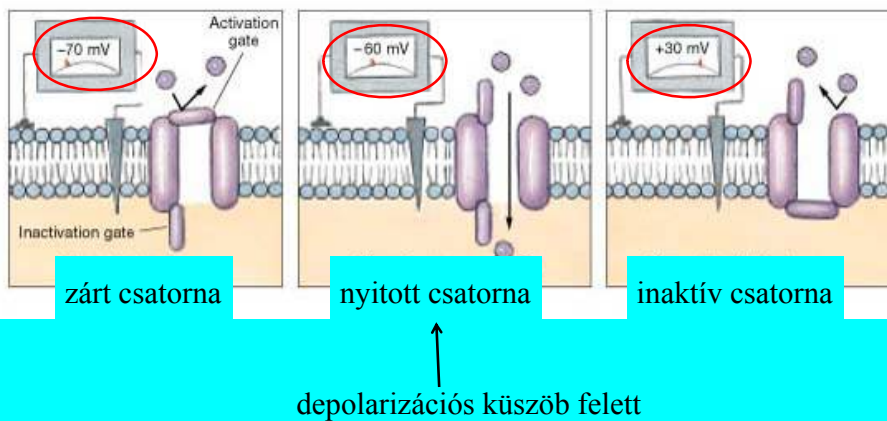


- membránpotenciált állandó értéken tartja
- az ionáramot – áramerősséget – méri

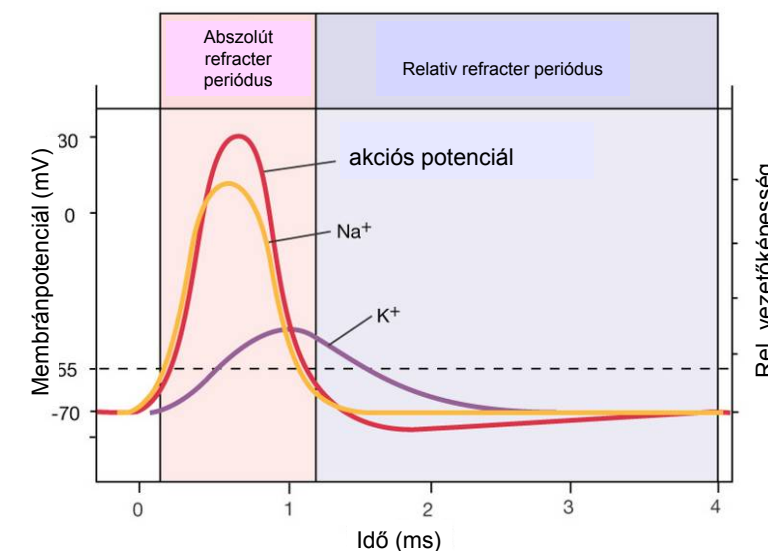
Na^+ és K^+ áram mérése



Feszültségszabályozott Na^+ -csatornák állapotai



Vezetőképesség az akciós potenciál alatt



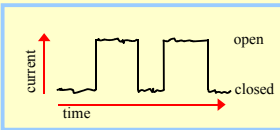
Patch-Clamp technika

Egyetlen csatornán át folyó áramot (10^{-12} A). méri.

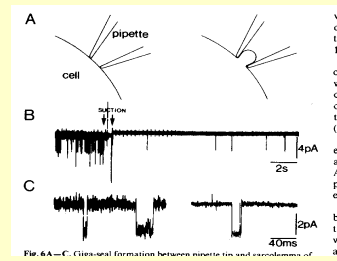
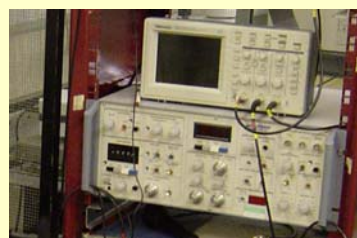


The Nobel Prize in Physiology or Medicine 1991 was awarded jointly to Erwin Neher and Bert Sakmann

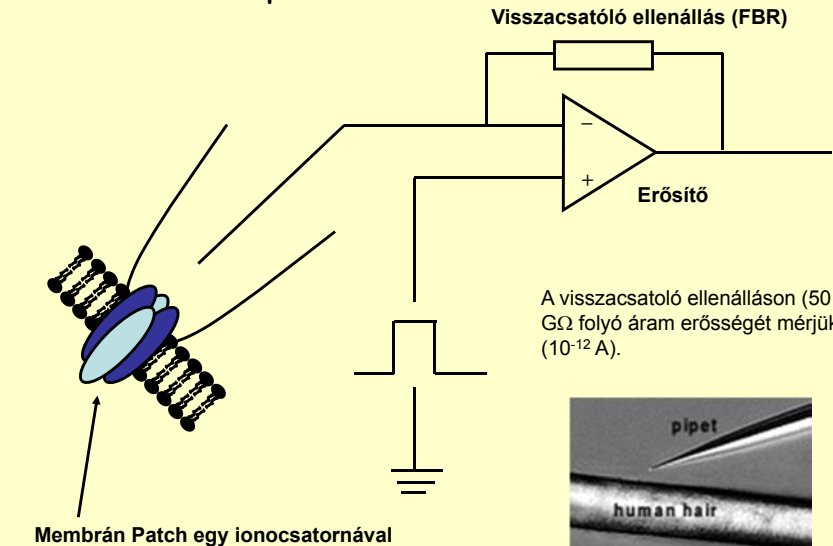
"for their discoveries concerning the function of single ion channels in cells"



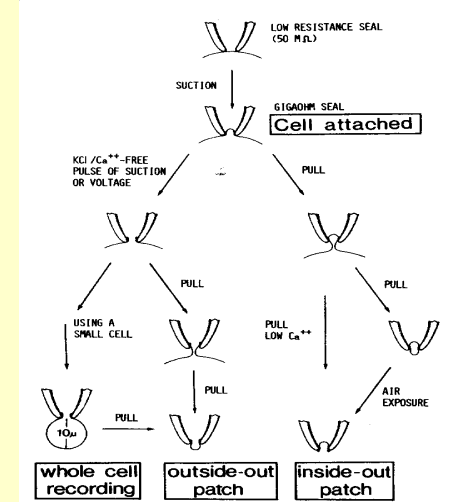
Patch-Clamp berendezés



Patch-Clamp áramkör

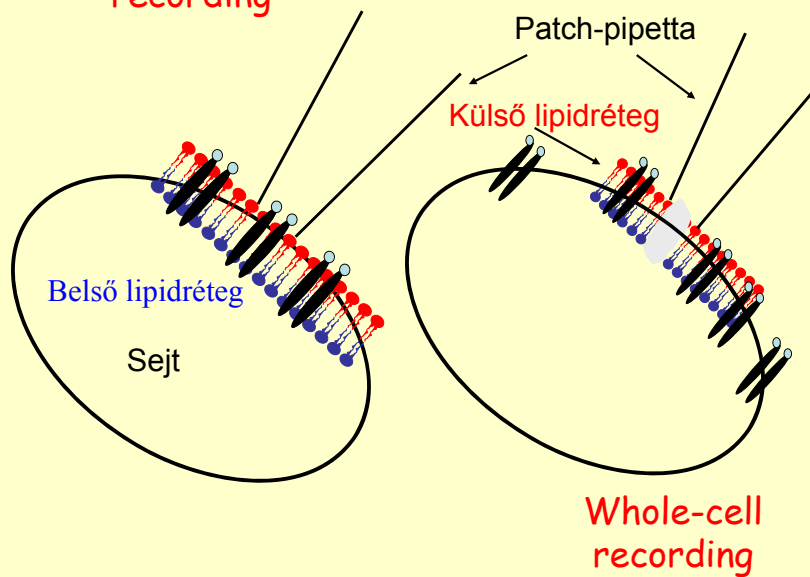


Patch-Clamp konfigurációk

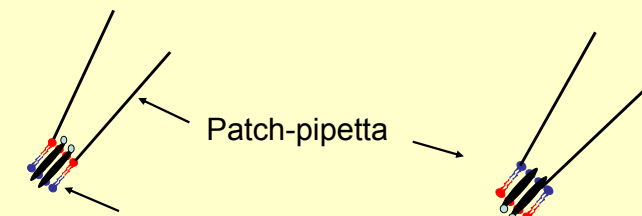


From Hamill et al 1981

Cell-attached recording



Inside-out recording

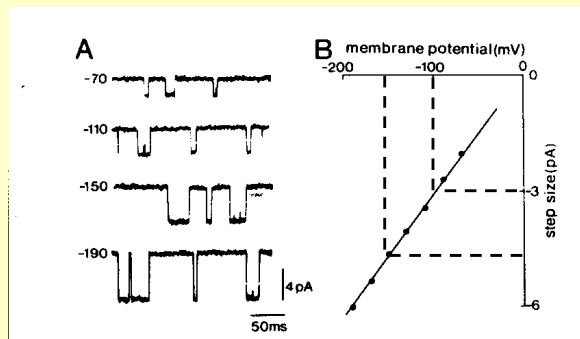


The **internal** face of the lipid bi-layer faces the bath solution

Outside-out recording

The **external** face of the lipid bi-layer faces the bath solution

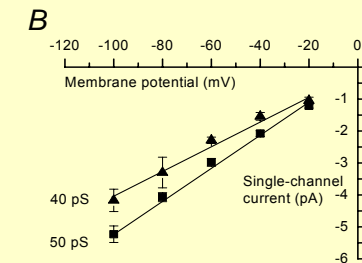
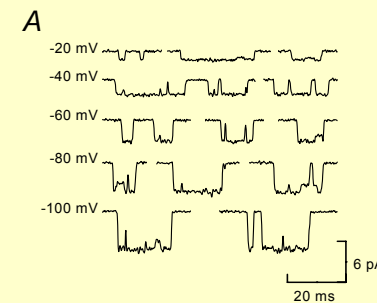
Single-channel I/V függvény a csatorna vezetőképességének meghatározására



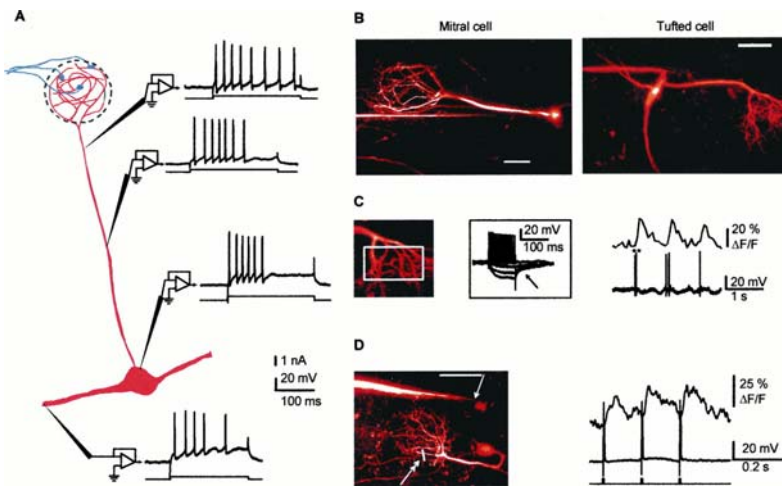
$$\begin{aligned} g_{\text{csatorna}} &= \Delta I \div \Delta V \\ &= 1.6 \times 10^{-12} \text{ A} \div 50 \times 10^{-3} \text{ V} \\ &= 32 \times 10^{-12} \text{ S} \\ &= 32 \text{ pS} \end{aligned}$$

From Hamill *et al* 1981

Egyes csatornáknak több állapota lehet



Sodium action potentials synchronize [Ca²⁺] transients in all dendritic compartments of mitral cells in the olfactory bulb of anesthetized rats.



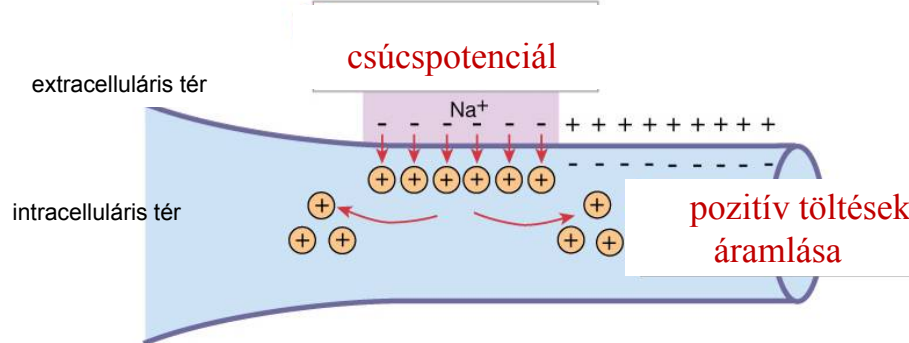
Charpak S et al. PNAS 2001;98:1230-1234

©2001 by National Academy of Sciences

PNAS

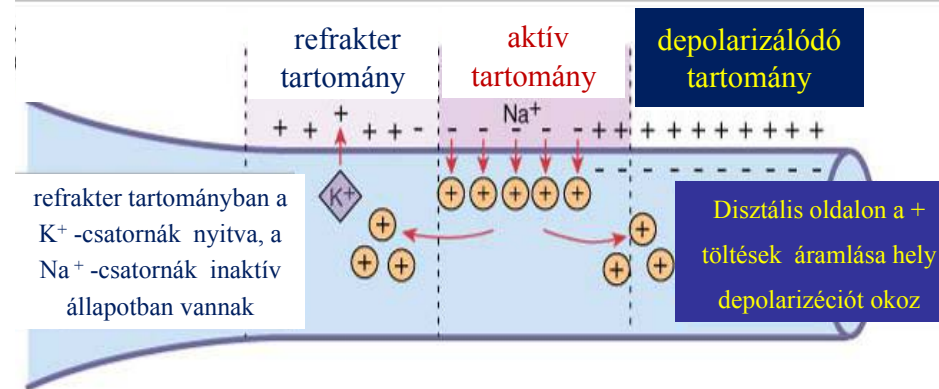
Az elektromos jellemzők hatása a jelvezetés sebességére

Az akciós potenciál terjedése (1)



Alapja: helyi áramok kialakulása – helyi depolarizáció

Az akciós potenciál terjedése (2)



Terjedés sebessége – milyen gyorsan, milyen messze?

Sebessége: τ és λ , vagyis az elektromos jellemzők függvénye

-mennyi idő alatt éri el a depolarizációs küszöböt — τ

- milyen távolságon éri még el a depolarizációs küszöböt — λ

Az axon sugarának hatása a vezetés sebességére:

$$\lambda \sim \sqrt{\frac{R_m}{R_i}}$$

$$\tau = C_m R_m$$

$$r \uparrow \quad \Rightarrow \quad R_i \downarrow (\sim 1/r^2) \quad \Rightarrow \quad \tau \downarrow$$
$$R_m \downarrow (\sim 1/r) \quad \Rightarrow \quad \lambda \uparrow$$

tintahal óriás axon $r=250\mu\text{m}$

$v=25\text{m/s}$

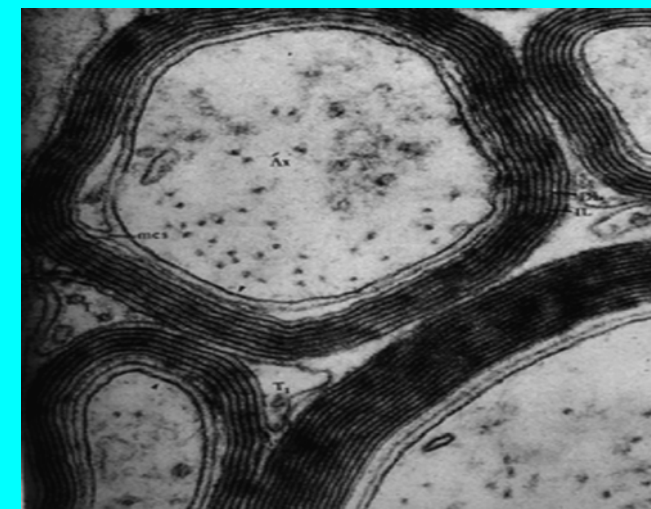
emberi idegsejt $r= 10 \mu\text{m}$
 $v \neq 0.5\text{m/s} ?$

Hogyan növelhetjük a vezetés sebességét?

1. Az axon sugarának növelésével – metabolikusan “drága”
– helyigényes
2. A membránkapacitás csökkentése , mert kevesebb töltés szükséges a membránpotenciál vátoztatásához



Megoldás: mielin hüvely!



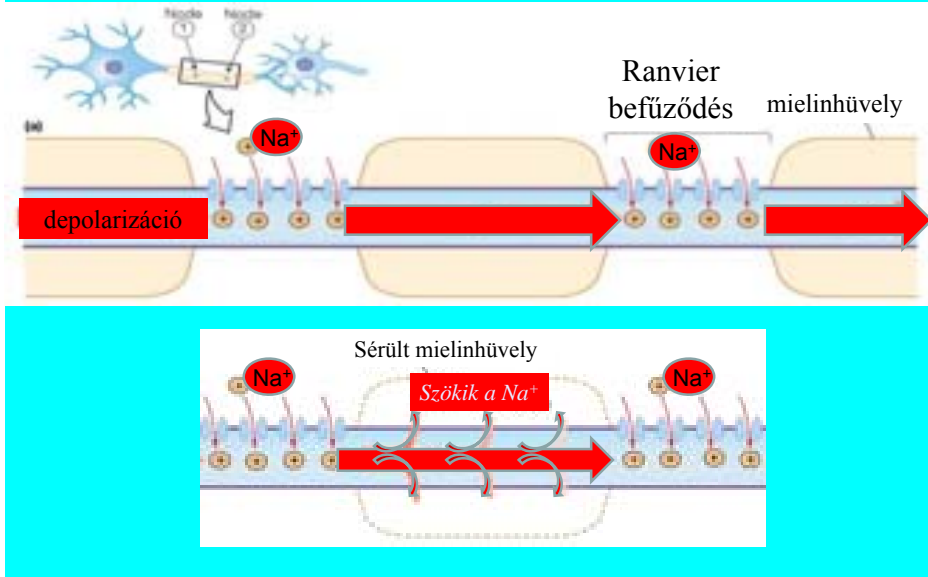
Megoldás: mielinhüvely !

R_m – nagyon nagy \rightarrow nagy térfogat

C_m – nagyon kicsi \rightarrow kis időállandó

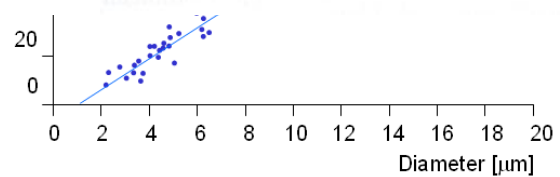
emberi idegsejt $r = 10 \mu\text{m}$
 $v \sim 100 \text{ m/s} ?$

Saltatorikus vezetés - gyors, energiatakarékos



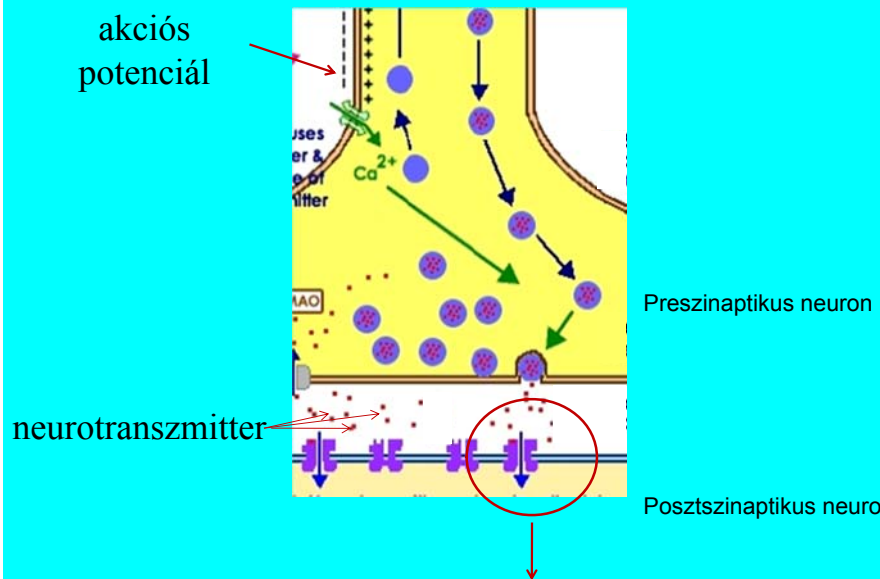
Az átmérő és a mielinhüvely hatása a vezetés sebességére

axon típusa	axon átmérője (μm)	vezetés sebessége (m/s)
mielinált		
$A\alpha$	18.5	42
$A\beta$	14.0	25
$A\gamma$	11.0	17
B	Approximately 3.0	4.2
nem mielinált		
C	2.5	0.4–0.5



Az elektromos jellemzők hatása a jelátadás sikerességére

Jelátadás a szinapszisban

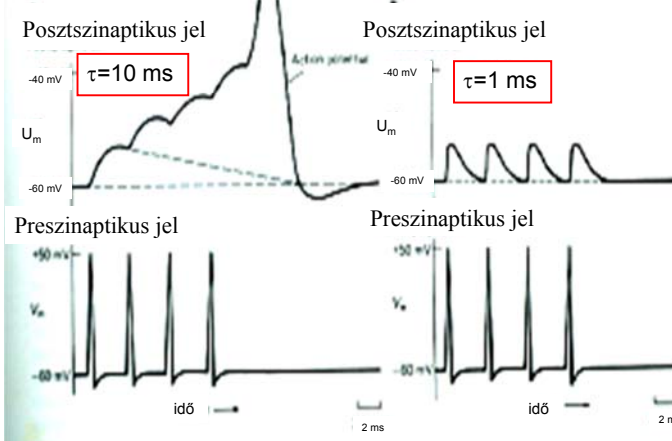


Az elektromos jellemzők hatása a jelátadás sikerességére

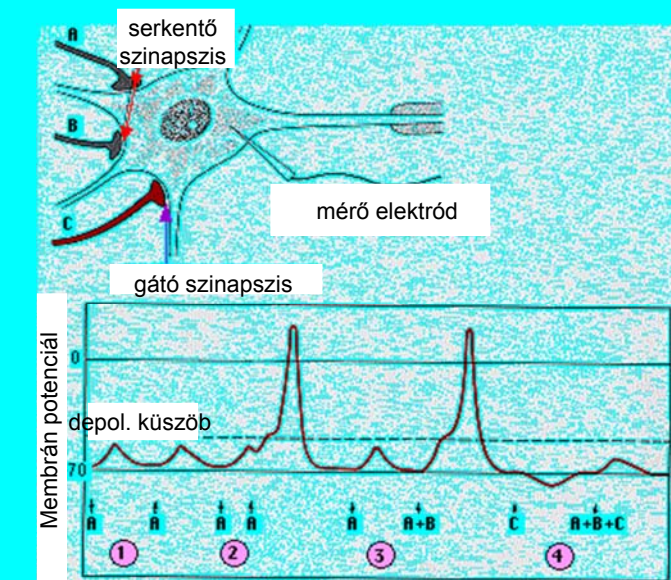
terbeli szummáció: egyidejűleg, több ponton érkező küszöb alatti ingerek összegzödése

időbeli szummáció: egyazon pontba érkező küszöb alatti ingerek összegzödése

időbeli szummáció: egyazon pontba érkező küszöb alatti ingerek összegzödése akciós potenciált válthat ki



Példa az időbeli és térbeli szummációra



Összefoglalás

Nyugalmi potenciál

leírása: egyensúlyi modell
 transzport modell
 elektromos modell
szerepe

A nyugalmi potenciál helyi megváltozása

jellemzői: időállandó
 térkonstans
szerepe: ingerületvezetés sebessége
 jelátadás sikeressége

Akciós potenciál

szerepe: információ továbbítás
 lefolyása